

сообщения  
объединенного  
института  
ядерных  
исследований  
дубна

3791/2-80

11/8-80

P17-80-321

В.Л.Аксенов, В.Ю.Юшанхай

КВАНТОВАЯ ДИФФУЗИЯ  $\mu^+$ -МЕЗОНОВ  
В КРИСТАЛЛАХ

1980

## 1. ВВЕДЕНИЕ

Изучение механизма диффузии положительных мионов в металлах представляет интерес в связи с широкими возможностями  $\mu^+$ -мезонного метода при исследовании свойств твердого тела<sup>1,2</sup>.  $\mu^+$ -мезон в кристалле представляет собой легкую межузельную примесь /его можно рассматривать как легкий изотоп протона,  $9m_\mu \approx m_p$ /. Возможными механизмами диффузии квантовой частицы в кристалле являются некогерентные подбарьерные перескоки и когерентное перемещение в зоне<sup>3-5</sup>. При экспериментальном наблюдении эти механизмы могут быть легко различимы, поскольку они имеют существенно разную температурную зависимость. В большинстве изученных металлов диффузия  $\mu^+$ -мезона осуществляется посредством некогерентных подбарьерных перескоков<sup>1,2</sup>. В некоторых же из них экспериментальные данные можно было объяснить возникновением ниже определенной температуры  $T < T_1$  когерентного быстрого движения в зоне<sup>6,6'</sup>. Однако при дальнейшем понижении температуры  $T < T_2 < T_1$  /например, для ниобия<sup>60</sup>/  $T_1 \approx 40$  К,  $T_2 \approx 20$  К/ характер диффузионного процесса резко менялся: скорость диффузии падала. Такая зависимость коэффициента диффузии от температуры не укладывалась в имеющиеся представления<sup>3-5</sup> и была названа аномальной. Однозначного объяснения этого явление до сих пор не получило.

В настоящей работе предложена модель квантовой диффузии легкой примесной частицы в кристалле. Исходными положениями являются представления о полярном состоянии заряженной квантовой частицы в решетке и механизм когерентной диффузии по зонам, образованным на междуузлиях разной симметрии. Тензор коэффициента диффузии, в отличие от предыдущих работ, вычислен на основе формулы Кубо с помощью теории возмущения по интегралам перекрытия. Получено выражение для измеряемой в эксперименте скорости релаксации спина  $\mu^+$ -мезона. Показано, что предложенная модель позволяет качественно описать диффузию  $\mu^+$ -мезона в металлах во всем интервале температур, включая аномальную область.

## 2. МОДЕЛЬНЫЙ ГАМИЛЬТОНИАН

Рассмотрим легкую примесную частицу в кристалле. Как показывают эксперименты по изучению поведения  $\mu^+$ -мезонов<sup>/2/</sup>, а также водорода в металлах<sup>/7/</sup>, движение частиц примеси может осуществляться по междуузлиям разной симметрии. Этот факт является исходным для предлагаемого в настоящей работе описания квантовой диффузии легкой частицы. Последняя в междуузлиях двух различных симметрий /сортов/ имеет разную энергию основного состояния  $\epsilon_1$  и  $\epsilon_2$ ; условимся, что  $\epsilon_1 < \epsilon_2$ . В результате квантового туннелирования на вектор трансляции  $\vec{g}$  в соседнее междуузлие того же сорта /диагональный переход/ уровни  $\epsilon_1$  и  $\epsilon_2$  размыиваются в зоны с ширинами  $J_1(\vec{g})$  и  $J_2(\vec{g})$  соответственно. Возможны также квантовые переходы между уровнями  $\epsilon_1$  и  $\epsilon_2$  с участием фонара с энергией  $\hbar\omega_q = \epsilon_2 - \epsilon_1$ . Матричный элемент, соответствующий такому недиагональному переходу, обозначим  $I_q(\vec{g})$ . Введем фермиевские операторы рождения  $a_{\alpha\vec{m}}^+$  и уничтожения  $a_{\alpha\vec{m}}$  частицы на уровне  $\alpha$  междуузлия с радиус-вектором  $\vec{m}$ , а также операторы рождения  $b_q^+$  и уничтожения  $b_q$  фонаров с квазимпульсом  $q$ . Гамильтониан модели представим в виде

/1/

$$\mathcal{H} = \mathcal{H}_0 + \mathcal{H}_{int},$$

$$\mathcal{H}_0 = \sum_q \hbar\omega_q (b_q^+ b_q + \frac{1}{2}) + \sum_{a=1,2} \left\{ \epsilon_a \sum_{\vec{m}} a_{\alpha\vec{m}}^+ a_{\alpha\vec{m}} + \sum_{\vec{m}, \vec{g}} J_a(\vec{g}) \times \right. \\ \left. \times a_{\alpha\vec{m}+\vec{g}}^+ a_{\alpha\vec{m}} \right\} + \sum_{\vec{m}, \vec{g}} \left\{ I_q(\vec{g}) a_{2\vec{m}+\vec{g}}^+ a_{1\vec{m}} b_{\vec{q}} + I_q^*(-\vec{g}) a_{1\vec{m}+\vec{g}}^+ a_{2\vec{m}} b_{\vec{q}}^+ \right\},$$

/2/

$$\mathcal{H}_{int} = \sum_{a=1,2} \sum_{\vec{m}} a_{\alpha\vec{m}}^+ a_{\alpha\vec{m}} \sum_q \left\{ \hbar\omega_q u_{\alpha\vec{m}}^q + V_{\alpha\vec{m}}^{qq'} (b_{\vec{q}'} + b_{-\vec{q}'}) \right\} (b_{\vec{q}} + b_{-\vec{q}}^+),$$

/3/

Здесь величины  $u_{\alpha\vec{m}}^q$ ,  $V_{\alpha\vec{m}}^{qq'}$  определяются конкретным видом взаимодействия частицы с колебаниями решетки кристалла. В общем случае это взаимодействие сильное, поэтому гамильтониан  $\mathcal{H}_{int}$  не может трактоваться как возмущение. Эффекты взаимодействия должны быть учтены уже в "нулевом" порядке<sup>/8/</sup>, метод позволяет сделать хорошо известный в теории полярона<sup>/8/</sup> метод канонического преобразования исходного гамильтониана /1/. Каноническое преобразование осуществляется с помощью унитарного оператора  $U = e^{-S}$ , где

$$S = \sum_{a=1,2} \sum_{\vec{m}} \hat{S}_{\alpha\vec{m}} a_{\alpha\vec{m}}^+ a_{\alpha\vec{m}}, \quad \hat{S}_{\alpha\vec{m}} = \sum_q u_{\alpha\vec{m}}^q (b_{\vec{q}} - b_{-\vec{q}}^+).$$

При этом операторы рождения и уничтожения преобразуются следующим образом:

$$\tilde{b}_q = e^{-S} b_q e^S = b_q - \sum_{a=1,2} \sum_{\vec{m}} u_{\alpha\vec{m}}^q a_{\alpha\vec{m}}^+ a_{\alpha\vec{m}},$$

$$\tilde{b}_q^+ = e^{-S} b_q^+ e^S = b_q^+ - \sum_{a=1,2} \sum_{\vec{m}} u_{\alpha\vec{m}}^q a_{\alpha\vec{m}}^+ a_{\alpha\vec{m}},$$

/4/

$$\tilde{a}_{\alpha\vec{m}} = e^{-S} a_{\alpha\vec{m}} e^S = e^{\hat{S}_{\alpha\vec{m}}} a_{\alpha\vec{m}},$$

$$\tilde{a}_{\alpha\vec{m}}^+ = e^{-S} a_{\alpha\vec{m}}^+ e^S = e^{-\hat{S}_{\alpha\vec{m}}} a_{\alpha\vec{m}}^+.$$

Как видно из последних соотношений, смысл преобразования заключается в следующем: во-первых, за счет мюонной плотности  $a_{\alpha\vec{m}}^+ a_{\alpha\vec{m}}$  смещаются равновесные положения узлов, относительно которых атомы кристалла совершают тепловые колебания; во-вторых, происходит "одевание" мюона в облако фонаров, что описывается операторами  $\exp[-\hat{S}_{\alpha\vec{m}}]$ .

Преобразованный гамильтониан системы имеет вид

$$\tilde{\mathcal{H}} = e^{-S} \mathcal{H} e^S = \tilde{\mathcal{H}}_0 + \tilde{\mathcal{H}}_{int} + \Delta \mathcal{H},$$

/5/

$$\tilde{\mathcal{H}}_0 = \sum_q \hbar\omega_q (b_q^+ b_q + \frac{1}{2}) + \sum_{a=1,2} \left| I_q \sum_{\vec{m}} a_{\alpha\vec{m}}^+ a_{\alpha\vec{m}} \right|,$$

/6/

$$\tilde{\mathcal{H}}_{int} = \sum_{a=1,2} \sum_{\vec{m}, \vec{g}} J_a(\vec{g}) e^{-(\hat{S}_{\alpha\vec{m}+\vec{g}} - \hat{S}_{\alpha\vec{m}})} a_{\alpha\vec{m}+\vec{g}}^+ a_{\alpha\vec{m}} +$$

$$+ \sum_{\vec{m}, \vec{g}} \sum_q \left| I_q(\vec{g}) e^{-(\hat{S}_{2\vec{m}+\vec{g}} - \hat{S}_{1\vec{m}})} a_{2\vec{m}+\vec{g}}^+ a_{1\vec{m}} b_{\vec{q}} + I_q^*(-\vec{g}) \times \right. \\ \left. \times e^{-(\hat{S}_{1\vec{m}+\vec{g}} - \hat{S}_{2\vec{m}})} a_{1\vec{m}+\vec{g}}^+ a_{2\vec{m}} b_{\vec{q}}^+ \right| + \sum_{\vec{m}} \sum_{qq'} a_{\alpha\vec{m}}^+ a_{\alpha\vec{m}} V_{\alpha\vec{m}}^{qq'} (b_{\vec{q}} + b_{-\vec{q}}^+) (b_{\vec{q}'} + b_{-\vec{q}'}^+).$$

/7/

Здесь  $\tilde{\epsilon}_a = \epsilon_a - \sum_q \hbar \omega_q |\mathbf{u}_{a\vec{m}}^q|^2$ , а  $\Delta H$  включает в себя члены, пропорциональные произведению операторов мюонной плотности на разных узлах  $\mathbf{u}_{a\vec{m}} \mathbf{u}_{a'\vec{m}'}$ .

Как видим, результатами канонического преобразования гамильтониана /1/ являются: во-первых, полярный сдвиг уровня  $\epsilon_a$  на величину  $\sum_q \hbar \omega_q |\mathbf{u}_{a\vec{m}}|^2$ , которая не зависит от индекса  $\vec{m}$  в силу трансляционной симметрии задачи; во-вторых, эффект сужения зон  $J_a(\vec{g})$  и перенормировки амплитуд  $I_q(\vec{g})$  за счет операторов "одевания"  $\exp[-(S_{\beta\vec{m}+\vec{g}} - S_{a\vec{m}})]$  в  $H_{int}$ ; в третьих, появление гамильтониана  $\Delta H$ , описывающего корреляции в положении мюонов на разных узлах.

Гамильтониан  $H_0$  в /6/, собственными векторами которого являются векторы, соответствующие локализованному в междуузлии состоянию частицы и равновесному состоянию решетки, дает хорошее нулевое приближение для описания мюона в кристалле. Действительно, как показывает эксперимент /1,2/, мюон некоторое среднее время  $t$ , большое по сравнению с характерным периодом колебаний решетки,  $\omega^{-1} \sim 10^{-13}$  с, находится в одном из междуузлий в тепловом равновесии с решеткой и лишь изредка совершает прыжок в соседнее положение равновесия. Последнее обстоятельство позволяет нам при описании диффузии пренебречь динамическими корреляциями между двумя последовательными прыжками мюона. В пределе малых плотностей мюонов в кристалле, который и реализуется в рассматриваемом случае, несущественны также статистические корреляции, описываемые  $\Delta H$ . Опуская эту добавку в /5/, получим эффективный гамильтониан мюона в кристалле:

$$H_{eff} = \tilde{H}_0 + \tilde{H}_{int}. \quad /8/$$

### 3. ВЫЧИСЛЕНИЕ КОЭФФИЦИЕНТА ДИФФУЗИИ

Тензор коэффициента диффузии вычислим, основываясь на формуле Кубо<sup>/9/</sup>:

$$D_{ik} = \frac{1}{\beta} \lim_{s \rightarrow 0} \int_0^\infty dt e^{-st} \int_0^\beta d\lambda \langle \hat{V}_i(-i\hbar\lambda) \hat{V}_k(t) \rangle, \quad \beta = \frac{1}{kT}. \quad /9/$$

Здесь  $\hat{V}_i(t)$  – оператор  $i$ -той компоненты скорости /  $i = x, y, z$  / в гейзенберговском представлении. Используя полную систему собственных функций гамильтониана  $H_{eff}$ , после ряда несложных преобразований перепишем соотношение /9/ в следующем виде:

$$D_{ik} = \frac{1}{2} \int_{-\infty}^{+\infty} dt \langle \hat{V}_i(t) \hat{V}_k(0) \rangle. \quad /10/$$

Введем оператор радиус-вектора мюона:

$$\hat{R} = \sum_{a=1,2} \sum_n \hat{a}_{a\vec{m}}^+ \hat{a}_{a\vec{m}}^-,$$

тогда для оператора скорости  $\hat{V}$  имеем выражение

$$\hat{V} = \frac{\partial \hat{R}}{\partial t} = \frac{i}{\hbar} [H_{eff}, \hat{R}] = \frac{i}{\hbar} [\tilde{H}_{int}, \hat{R}].$$

Вычислив последний коммутатор и подставив результат в /10/, получим следующее выражение для тензора коэффициента диффузии:

$$\begin{aligned} D_{ik} = & -\frac{1}{2\hbar^2} \sum_{a=1,2} \sum_{\vec{m}_1, \vec{g}_1} \sum_{\vec{m}_2, \vec{g}_2} g_1^i g_2^k J_a(\vec{g}_1) J_a(\vec{g}_2) \times \\ & \times \int_{-\infty}^{+\infty} dt \langle a_{a\vec{m}_1 + \vec{g}_1}^+(t) e^{-S_{a\vec{m}_1 + \vec{g}_1}(t)} a_{a\vec{m}_1}^-(t) e^{S_{a\vec{m}_1}(t)} \rangle \times \\ & \times \langle a_{a\vec{m}_2 + \vec{g}_2}^+(0) e^{-S_{a\vec{m}_2 + \vec{g}_2}(0)} a_{a\vec{m}_2}^-(0) e^{S_{a\vec{m}_2}(0)} \rangle - \\ & - \frac{1}{2\hbar^2} \sum_{\vec{m}_1, \vec{g}_1} \sum_{\vec{m}_2, \vec{g}_2} g_1^i g_2^k \sum_{q_1, q_2} \langle [I_{q_1}(\vec{g}_1) I_{q_2}^*(\vec{g}_2)] \times \\ & \times \int dt \langle a_{2\vec{m}_1 + \vec{g}_1}^+(t) e^{-S_{2\vec{m}_1 + \vec{g}_1}(t)} a_{1\vec{m}_1}^-(t) e^{S_{1\vec{m}_1}(t)} b_{q_1}(t) \times \end{aligned}$$

$$\times \langle a_{\vec{1m}_2 + \vec{g}_2}^+ (0) e^{-\hat{S}_{1\vec{m}_2 + \vec{g}_2}(0)} a_{2\vec{m}_2} (0) e^{+\hat{S}_{2\vec{m}_2}(0)} b_{q_2}^+ (0) \rangle +$$

$$+ [I_{q_1}^* (-\vec{g}_1) I_{q_2} (\vec{g}_2) \int_{-\infty}^{+\infty} dt \langle a_{\vec{1m}_1 + \vec{g}_1}^+ (t) e^{-\hat{S}_{1\vec{m}_1 + \vec{g}_1}(t)} \times$$

$$\times a_{2\vec{m}_1} (t) e^{\hat{S}_{2\vec{m}_1}(t)} b_{q_1}^+ (t) a_{2\vec{m}_2 + \vec{g}_2}^+ (0) e^{-\hat{S}_{2\vec{m}_2 + \vec{g}_2}(0)} \times$$

$$\times a_{1\vec{m}_2}^+ (0) e^{\hat{S}_{1\vec{m}_2}(0)} b_{q_2}^+ (0) \rangle ] .$$

Угловые скобки означают здесь усреднение по распределению Гиббса с гамильтонианом  $\tilde{H}_0$ , собственными состояниями которого являются локализованные состояния мюона. Как видно из структуры  $\tilde{H}_{int}$  в /7/, взаимодействие приводит к затуханию этих локализованных состояний с некоторыми частотами  $\hbar^{-1}\Gamma_a$  /  $a = 1, 2$ /, которые введены с помощью  $S$ -матрицы, определяющей гейзенберговское представление мюонных операторов:

$$a_{\vec{am}}^+ (t) = e^{i\hbar^{-1}\tilde{H}_{eff} \cdot t} a_{\vec{am}}^+ e^{-i\hbar^{-1}\tilde{H}_{eff} t} = S^+(t) e^{i\hbar^{-1}\tilde{H}_0 \cdot t} a_{\vec{am}}^+ \times$$

$$\times e^{-i\hbar^{-1}\tilde{H}_0 \cdot t} S(t) = e^{i\hbar^{-1}\vec{\epsilon}_a \cdot t} S^+(t) a_{\vec{am}}^+ S(t) e^{-i\hbar^{-1}\vec{\epsilon}_a \cdot t - i\hbar^{-1}\Gamma_a |t|} a_{\vec{am}}^+ .$$

Частота затухания  $\hbar^{-1}\Gamma_a$  состояния мюона, локализованного на уровне  $a$  междуузлия  $\vec{m}$ , так же, как и энергия этого состояния  $\vec{\epsilon}_a$ , не зависит от индекса  $\vec{m}$  в силу трансляционной инвариантности гамильтониана  $\tilde{H}_{eff}$ .

Пусть в начальный момент времени мюон помещен в междуузлие  $\vec{m}$ . Воспользовавшись /12/, преобразуем корреляционную функцию, входящую в первый интеграл выражения /11/, следующим образом:

$$\begin{aligned} & \langle a_{\vec{am}_1 + \vec{g}_1}^+ (t) e^{-\hat{S}_{1\vec{m}_1 + \vec{g}_1}(t)} a_{\vec{am}_1}^+ (t) e^{\hat{S}_{1\vec{m}_1}(t)} a_{\vec{am}_2 + \vec{g}_2}^+ (0) e^{-\hat{S}_{2\vec{m}_2 + \vec{g}_2}(0)} \times \\ & \times a_{\vec{am}_2}^+ e^{\hat{S}_{2\vec{m}_2}(0)} \rangle = Z^{-1} e^{-\frac{\tilde{\epsilon}_2}{T}} e^{-2\hbar^{-1}\Gamma_a |t|} \delta_{\vec{m}_2, \vec{n}} \delta_{\vec{m}_1, \vec{n} + \vec{g}_2} \delta_{\vec{g}_1, -\vec{g}_2} / 13/ \\ & \times \langle e^{-\hat{S}_{an}(t)} e^{\hat{S}_{an + \vec{g}_2}(t)} e^{-\hat{S}_{an + \vec{g}}(0)} e^{\hat{S}_{an}(0)} \rangle . \end{aligned}$$

Здесь  $Z = e^{-\tilde{\epsilon}_1/T} + e^{-\tilde{\epsilon}_2/T}$  и оставшиеся скобки означают усреднение лишь с фононным гамильтонианом. Подобные корреляционные функции возникают в теории полярона малого радиуса /8/. Приведем результат вычисления:

$$\langle e^{-\hat{S}_{an}(t)} e^{\hat{S}_{an + \vec{g}_2}(t)} e^{-\hat{S}_{an + \vec{g}}(0)} e^{\hat{S}_{an}(0)} \rangle = e^{f_{aa}(\vec{g}, t)} ,$$

$$f_{aa}(\vec{g}, t) = 2 \sum_q \gamma_{aa}^q(\vec{g}) [(1 + 2\bar{n}_q) - (1 + \bar{n}_q)] e^{-i\omega_q t} - \bar{n}_q e^{i\omega_q t} ,$$

/15/

$$2\gamma_{aa}^q(\vec{g}) = |u_{a\vec{n}}^q - u_{\beta\vec{n} + \vec{g}}^q|^2 .$$

Здесь  $\bar{n}_q$  – среднее тепловое число фононов с квазимпульсом  $q$ .

Корреляционную функцию, входящую во второй интеграл выражения /11/, преобразуем аналогично /13/:

$$\langle a_{\vec{2m}_1 + \vec{g}_1}^+ (t) e^{-\hat{S}_{1\vec{m}_1 + \vec{g}_1}(t)} a_{\vec{1m}_1}^+ (t) e^{\hat{S}_{1\vec{m}_1}(t)} b_{q_1}^+ (t) \times$$

$$\times a_{\vec{1m}_2 + \vec{g}_2}^+ (0) e^{-\hat{S}_{1\vec{m}_2 + \vec{g}_2}(0)} a_{\vec{2m}_2}^+ (0) e^{\hat{S}_{2\vec{m}_2}(0)} b_{q_2}^+ (0) \rangle =$$

$$= Z^{-1} e^{-\tilde{\epsilon}_2/T} e^{i\hbar^{-1}(\tilde{\epsilon}_2 - \tilde{\epsilon}_1)t} e^{-\hbar^{-1}(\Gamma_1 + \Gamma_2)|t|} \delta_{\vec{m}_2, \vec{n}} \delta_{\vec{m}_1, \vec{n} + \vec{g}_2} \times$$

/16/

$$\times \delta_{\vec{g}_1, -\vec{g}_2} < e^{-\hat{s}_{2\vec{n}}(t)} e^{\hat{s}_{1\vec{n} + \vec{g}}(t)} b_{q_1}(t) e^{-\hat{s}_{1\vec{n}}(0)} e^{\hat{s}_{2\vec{n}}(0)} b_{q_2}^+(0) >.$$

Полученную корреляционную функцию расцепим следующим образом:

$$< e^{-\hat{s}_{2\vec{n}}(t)} e^{\hat{s}_{1\vec{n} + \vec{g}}(t)} b_{q_1}(t) e^{-\hat{s}_{1\vec{n}}(0)} e^{\hat{s}_{2\vec{n}}(0)} b_{q_2}^+(0) > =$$

/17/

$$= < e^{-\hat{s}_{2\vec{n}}(t)} e^{\hat{s}_{1\vec{n} + \vec{g}}(t)} e^{-\hat{s}_{1\vec{n}}(0)} e^{\hat{s}_{2\vec{n}}(0)} > < b_{q_1}(t) b_{q_2}^+(0) >.$$

Это расцепление позволяет учсть пись такие недиагональные переходы мюона, которые сопровождаются самосогласованной перестройкой коррелированного с ним фононного облака. Не представляет труда учет в исходной корреляционной функции /17/ всех других спариваний фононных операторов, которые соответствуют вкладу недиагональных переходов мюона, сопровождающихся "встряхиванием" фононного облака. Полученные таким образом дополнительные слагаемые в /17/ имеют тот же характер зависимости от температуры, что и главное приближение /17/. Поэтому их учет не меняет окончательных выводов о виде температурной зависимости коэффициента диффузии мюона в кристалле. Преобразуя результат /17/ так же, как и /13/, /14/, получим следующее выражение для корреляционной функции:

$$< e^{-\hat{s}_{2\vec{n}}(t)} e^{\hat{s}_{1\vec{n} + \vec{g}}(t)} e^{-\hat{s}_{1\vec{n}}(0)} e^{\hat{s}_{2\vec{n}}(0)} > < b_{q_1}(t) b_{q_2}^+(0) > =$$

/18/

$$= e^{-f_{21}^{\vec{g}}(t)} e^{-i\hbar^{-1}\omega_{q_2} t} (1 + \bar{n}_{q_2}) \delta_{q_1, q_2},$$

где  $f_{21}^{\vec{g}}(t)$  определено в /15/.

Аналогичным путем получаем

$$\cdot a_{1\vec{m}_1 + \vec{g}_1}(t) e^{-\hat{s}_{1\vec{m}_1}(t) + \vec{g}_1(t)} a_{2\vec{m}_1}(t) e^{\hat{s}_{2\vec{m}_1}(t)} b_{q_1}^+(t) \times$$

$$\left. \begin{aligned} & \times a_{2\vec{m}_2 + \vec{g}_2}(0) e^{-\hat{s}_{2\vec{m}_2}(0)} a_{1\vec{m}_2}(0) e^{\hat{s}_{1\vec{m}_2}(0)} b_{q_2}^+(0) \end{aligned} \right) =$$

/19/

$$= Z^{-1} e^{-\tilde{\epsilon}_1/T} e^{i\hbar^{-1}(\tilde{\epsilon}_1 - \tilde{\epsilon}_2)t} e^{-\hbar^{-1}(\Gamma_1 + \Gamma_2)|t|} \delta_{\vec{m}_2, \vec{n}} \delta_{\vec{m}_1, \vec{n} + \vec{g}_2} \times$$

$$\times \delta_{\vec{g}_2, -\vec{g}_1} e^{-f_{12}^{\vec{g}}(t)} e^{i\hbar^{-1}\omega_{q_1} t} \bar{n}_{q_1} \delta_{q_1, q_2}.$$

Подставляя /14/-/19/ в /11/, получаем выражение для тензора коэффициента диффузии:

$$\begin{aligned} D_{ik} = & \frac{1}{2\hbar^2} Z^{-1} \sum_{\alpha=1,2} \frac{-\tilde{\epsilon}_\alpha/T}{\vec{g}} \sum_g g^i g^k J_\alpha^2(g) \int_{-\infty}^{\infty} dt e^{-2\hbar^{-1}\Gamma_\alpha|t|} e^{-f_{\alpha\alpha}^{\vec{g}}(t)} + \\ & + \frac{1}{2\hbar^2} \sum_g \frac{g^i g^k}{g} \sum_q |J_q(g)|^2 \left\{ e^{-\tilde{\epsilon}_1/T} \cdot \bar{n}_{q_1} \int_{-\infty}^{\infty} dt e^{i\hbar^{-1}(\tilde{\epsilon}_1 - \tilde{\epsilon}_2 + \hbar\omega_q)t} \right. \\ & \times e^{i\hbar^{-1}(\Gamma_1 + \Gamma_2)|t|} e^{-f_{12}^{\vec{g}}(t)} + \\ & \left. + e^{-\tilde{\epsilon}_2/T} (1 + \bar{n}_{q_2}) \int_{-\infty}^{\infty} dt e^{-i\hbar^{-1}(\tilde{\epsilon}_1 - \tilde{\epsilon}_2 + \hbar\omega_q)t} e^{-\hbar^{-1}(\Gamma_1 + \Gamma_2)|t|} e^{-f_{21}^{\vec{g}}(t)} \right\}. \end{aligned} \quad /20/$$

Тензор /20/ может быть представлен в виде

$$D_{ik} = \sum_g g^i g^k W(g),$$

где  $W(g)$  - частота диффузионных скачков мюона на вектор  $\vec{g}$ . Из /20/ вытекает следующее выражение для частоты:

$$W(\vec{g}) = Z^{-1} \{ W_1(\vec{g}) + e^{-\tilde{\epsilon}_2 - \tilde{\epsilon}_1/T} W_2(\vec{g}) + W_{1+2}(\vec{g}) + \\ + e^{-\tilde{\epsilon}_2 - \tilde{\epsilon}_1/T} W_{2+1}(\vec{g}) \}. \quad /21/$$

Здесь  $W_a(\vec{g})$  /  $a = 1, 2$  / - частоты диагональных, а  $W_{1+2}$  и  $W_{2+1}$  - недиагональных переходов мюона.

Анализ выражения /20/ показывает, что, как и в общей теории<sup>8-5</sup>, диагональные переходы мюона определяются как механизмом когерентного движения в зоне, так и механизмом некогерентных случайных прыжков:

$$W_a(\vec{g}) = W_a^{(\text{ког.})}(\vec{g}) + W_a^{(\text{нп.})}(\vec{g}), \quad /22/$$

$$W_a^{(\text{ког.})}(\vec{g}) = \frac{J_a^2(\vec{g})}{2\hbar\Gamma_a} e^{-2\Phi_{aa}^{\vec{g}}(T)}. \quad /23/$$

$$W_a^{(\text{нп.})} = \frac{J_a^2(\vec{g})}{2\hbar\Gamma_a} e^{-2\Phi_{aa}^{\vec{g}}(T)} \left\{ e^{-\frac{2\Gamma_a|t|}{\hbar}} \int_{-\infty}^{+\infty} e^{\frac{2\Gamma_a|t|}{\hbar}} \left\{ e^{2\sum_q \gamma_{aa}^q(\vec{g}) \frac{\cos\omega_q t}{\sinh\frac{\hbar\omega_q}{2T}}} - 1 \right\} dt \right\}, \quad /24/$$

где

$$\Phi_{a\beta}^{\vec{g}}(T) = \sum_q \gamma_{a\beta}^q(\vec{g}) \coth \frac{\hbar\omega_q}{2T}. \quad /25/$$

Для частот недиагональных переходов из /20/ получим выражения

$$W_{1+2}(\vec{g}) = \sum_q \frac{|I_q(\vec{g})|^2}{2\hbar^2} e^{-2\Phi_{12}^{\vec{g}}(T)} \bar{n}_q \cdot \int_{-\infty}^{+\infty} dt \exp \{ i\hbar^{-1} (\tilde{\epsilon}_1 - \tilde{\epsilon}_2 + \hbar\omega_q) t - \\ - \hbar^{-1} (\Gamma_1 + \Gamma_2) \cdot |t| + e^{-i\omega_q t} (1 + \bar{n}_q) + e^{i\omega_q t} \bar{n}_q \}. \quad /26/$$

$$W_{2+1}(\vec{g}) = \sum_q \frac{|I_q(\vec{g})|^2}{2\hbar^2} e^{-2\Phi_{21}^{\vec{g}}(T)} (1 + \bar{n}_q) \times \\ \times \int_{-\infty}^{+\infty} dt \exp \{ -i\hbar^{-1} (\tilde{\epsilon}_1 - \tilde{\epsilon}_2 + \hbar\omega_q) t - \hbar^{-1} (\Gamma_1 + \Gamma_2) \cdot |t| + \\ + e^{-i\omega_q t} (1 + \bar{n}_q) + e^{i\omega_q t} \bar{n}_q \}. \quad /27/$$

Входящие в /23/-/27/ частоты  $\hbar^{-1}\Gamma_a$  затухания локализованного на уровне  $a = 1, 2$  состояния частицы обусловлены диагональными:  $\Gamma_a^{(\text{диаг.})} \sim z_a J_a^2(\vec{g}) \exp[-2\Phi_{a\beta}^{\vec{g}}(t)] \cdot F(T) \cdot \delta_{a\beta}$  и недиагональными переходами:  $\Gamma_a^{(\text{нед.})} \sim z_\beta \sum_q |I_q(\vec{g})|^2 \exp[-2\Phi_{a\beta}^{\vec{g}}(T)] \cdot F_q(T) (1 - \delta_{a\beta})$ , где  $z_a$  - число ближайших междуузлий;  $F(T)$  и  $F_q(T)$  - монотонно растущие функции температуры;  $a, \beta = 1, 2$ . В случае узких исходных зон  $J_a(\vec{g})$  и малых амплитуд  $I_q(\vec{g})$  или в случае сильного поляронного эффекта,  $\Phi_{a\beta}^{\vec{g}}(0) \gg 1$ , главный вклад в ширину  $\Gamma_a$  дают процессы многократного "внутриямного" рассеяния частицы на фононах, вызванного взаимодействием  $V_{a\beta}^{qq}$  в /1/. Согласно<sup>8,4/</sup>  $\Gamma^{(\text{вн.я.})} \sim B(T/T_d)^9$ , где  $T_d$  - дебаевская температура кристалла,  $B$  - не зависящая от температуры величина.

#### 4. ЗАВИСИМОСТЬ КОЭФФИЦИЕНТА ДИФФУЗИИ ОТ ТЕМПЕРАТУРЫ

Проанализируем на основе всего вышеизложенного характер температурной зависимости частоты  $W(\vec{g})$  диффузионных переходов мюона. В области достаточно низких температур из /20/, /24/ для частоты некогерентных прыжков  $W_a^{(\text{нп.})}(\vec{g})$  получим следующее выражение:

$$W_a^{(\text{нп.})}(\vec{g}) \approx \frac{J_a^2(\vec{g})}{2\hbar^2} e^{-2\Phi_{aa}^{\vec{g}}(T)} \times 8\pi \sum_{q_1, q_2} \gamma_{aa}^{q_1}(\vec{g}) \times \gamma_{aa}^{q_2}(\vec{g}) \times \\ \times \bar{n}_{q_1} (1 + \bar{n}_{q_2}) \delta(\omega_{q_1} - \omega_{q_2}). \quad /28/$$

В частности, для дебаевской модели кристалла при  $T \ll T_d$  оценка /28/ дает

$$W_a^{(app)}(\vec{g}) = \frac{J_a^2(\vec{g})}{2\hbar T_{a1}} e^{-2\Phi_{aa}^{\vec{g}(T)}} [\Phi_{aa}^{\vec{g}}(0)]^2 2^7 \cdot 6 \cdot \left(\frac{T}{T_{a1}}\right)^7. /29/$$

В области высоких температур методом перевала из /24/ получим

$$W_a^{(app)}(\vec{g}) = \frac{J_a^2(\vec{g})}{2\hbar^2} \left[ \frac{\pi \hbar^2}{4TE_{ag}} \right]^{1/2} e^{-E_{ag}/kT}. /30/$$

где  $E_{ag} = \frac{1}{2} \sum_q \hbar \omega_q \Gamma_{aa}^q(\vec{g})$ . Для энергии активации  $E_{ag}$  оценки дают, к примеру в дебаевской модели, результат

$$E_{ag} = \frac{2}{5} T_{a1} \cdot \Phi_{aa}^{\vec{g}}(0).$$

Таким образом, если вклад в диффузию, обеспечиваемый механизмом некогерентных прыжков мюона, монотонно растет с увеличением температуры, то, как следует из /23/, /25/, частота когерентных переходов  $W_a^{(KOR)}(\vec{g})$  падает с ростом температуры по двум причинам: из-за полярного сужения зоны, описываемого зависимостью  $\exp[-2\Phi_{aa}^{\vec{g}}(T)]$ , и за счет эффектов затухания, описываемых величинами  $\Gamma_a$ . На основании соотношений /23/, /28/-/29/ можно заключить, что в области низких температур  $/T < T_{a1}/$  некогерентные процессы перехода мюона несущественны и доминирующей является когерентная диффузия в зоне  $W_a^{(KOR)}(\vec{g}) \gg W_a^{(app)}(\vec{g})$ . Поскольку  $W_a^{(KOR)}(\vec{g})$  быстро падает с ростом температуры, а  $W_a^{(app)}(\vec{g})$  растет, при некоторой температуре  $T_m$ , определяемой параметрами задачи: силой мюон-фононной связи, жесткостью решетки, величинами  $J_a(\vec{g})$  и  $\Gamma_a(\vec{g})$ , достигается минимум величины  $W_a(\vec{g}) = W_a^{(KOR)}(\vec{g}) + W_a^{(app)}(\vec{g})$ . При температуре выше  $T_m$  частота  $W_a(\vec{g})$  определяется практически лишь некогерентными процессами перескока мюона  $W_a^{(app)}(\vec{g}) \gg W_a^{(KOR)}(\vec{g})$ .

Из анализа выражений /26/, /27/ для частот недиагональных переходов мюона с изменением номера зоны  $W_{1+2}$  и  $W_{2+1}$  следует, что рост этих частот с увеличением температуры обусловлен, в основном, увеличением среднего теплового числа фононов  $\bar{n}_q$ .

В области температур  $T < T_m$ , где несущественен вклад некогерентных диагональных процессов, из /22/-/27/ получаем следующее выражение для частоты диффузионных переходов мюона:

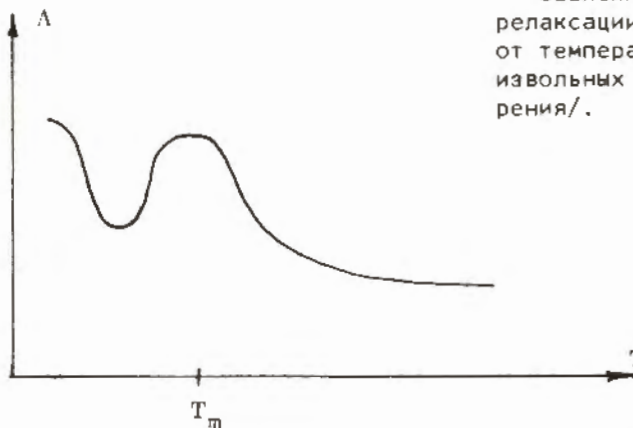
$$\begin{aligned} W(\vec{g}) \simeq Z^{-1} \left\{ \frac{J_1^2(\vec{g})}{2\hbar \Gamma_1} e^{-2\Phi_{11}^{\vec{g}(T)}} + e^{-\frac{\tilde{\epsilon}_2 - \tilde{\epsilon}_1}{T}} \cdot \frac{J_2^2(\vec{g})}{2\hbar \Gamma_2} e^{-2\Phi_{22}^{\vec{g}(T)}} + \right. \\ \left. + \pi \sum_q \frac{|I_q(\vec{g})|^2}{2\hbar^2} [\bar{n}_q e^{-2\Phi_{12}^{\vec{g}(T)}} + e^{-\frac{\tilde{\epsilon}_2 - \tilde{\epsilon}_1}{T}} (1 + \bar{n}_q) e^{-2\Phi_{21}^{\vec{g}(T)}}] \times \right. \\ \left. \times \delta(\tilde{\epsilon}_1 - \tilde{\epsilon}_2 + \hbar \omega_q) \right\} /31/ \end{aligned}$$

В случае  $J_2^2(\vec{g}) \exp[-2\Phi_{22}^{\vec{g}(T)}] \gg J_1^2(\vec{g}) \exp[-2\Phi_{11}^{\vec{g}(T)}]$  когерентное движение мюона по второй зоне более эффективно, чем по первой. Таким образом, если при  $T < \tilde{\epsilon}_2 - \tilde{\epsilon}_1$ , согласно /31/, осуществляется перенос по узкой нижней зоне, то с ростом температуры по мере заполнения второй широкой зоны следует ожидать рост величины  $W(\vec{g})$ . Максимум  $W(\vec{g})$  реализуется в области температур  $T \sim \tilde{\epsilon}_2 - \tilde{\epsilon}_1 < T_m$ , а с дальнейшим повышением температуры,  $\tilde{\epsilon}_2 - \tilde{\epsilon}_1 < T < T_m$ , эффективность когерентного механизма, а с ней и  $W(\vec{g})$ , быстро падают за счет эффектов рассеяния на фононах, описываемых зависимостью  $\Gamma_a(T)$ . Такая зависимость частоты  $W(\vec{g})$  от температуры позволяет объяснить "аномальному" диффузию  $\mu^+$ -мезонов /26/.

## 5. ДИФФУЗИЯ $\mu^+$ -МЕЗОНА В НИОБИИ И ВИСМУТЕ. ОБСУЖДЕНИЕ

В  $\mu^+$ -мезонном эксперименте, в конечном счете, измеряется скорость релаксации спина мюона  $\Lambda$ . Используя результаты /10/, можно показать, что при медленной диффузии, когда частота  $W$  диффузионных скачков по междоузлиям определенного сорта мала,  $W \ll \sigma$ , где  $\sigma$  — параметр, характерный для междоузлий данного сорта /  $\sigma \sim \gamma_\mu \sqrt{H^2_{\text{лок.}}}$ ,  $\gamma_\mu$  — гиromагнитное отношение мюона,  $H_{\text{лок.}}$  — среднее значение квадрата покоящегося магнитного поля междоузлия/, имеем для скорости релаксации  $\Lambda = \sigma^2/W$ . В случае быстрой диффузии /  $W \gg \sigma$  / получаем  $\Lambda = \sigma^2/W$ , т.е.  $\Lambda \sim D^{-1}$ . В результате в нашей модели диффузии по двум зонам выражение для скорости релаксации спина мюона  $\Lambda$  при  $T < T_m$  имеет вид

$$\Lambda = \left( 1 + e^{-\frac{\tilde{\epsilon}_2 - \tilde{\epsilon}_1}{T}} \right)^{-1} \left[ \sigma_1 + e^{-\frac{\tilde{\epsilon}_2 - \tilde{\epsilon}_1}{T}} \times \frac{\sigma_2^2}{W_2^{(KOR)}(\vec{g})} \right]. /32/$$



Используя /29/-/32/, получаем температурную зависимость в виде, изображенном на рисунке.

Рассмотрим диффузию  $\mu^+$ -мезона в ниобии /66/. Ниобий имеет ОЦК-решетку, элементарная ячейка содержит шесть междоузлий октаэдрического типа, характеризующиеся параметром  $a_1$ , и двенадцать междоузлий тетраэдрического типа с параметром  $a_2$ . Можно предположить, что за счет большей концентрации в кристалле тетраэдрических междоузлий соответствующая им ширина зоны  $J_2(\vec{g})$  превосходит ширину зоны  $J_1(\vec{g})$  октаэдрических междоузлий. Моноизотопный состав и малое количество примесей в эксперименте /66/ создают необходимые условия для существования когерентной диффузии. Действительно, сравнивая рисунок с результатом эксперимента /66/, видим, что характер полученной в нашей модели температурной зависимости  $A$  совпадает с наблюдаемой зависимостью скорости релаксации спина  $\mu^+$ -мезона.

Широкую вторую примесную зону в кристалле могут обеспечить не только междоузлия другой симметрии, но и более высокий уровень данного междоузлия. Так можно объяснить аномальную диффузию в висмуте /68/, решетка которого имеет междоузлия одного сорта.

Таким образом, предложенная в данной работе модель позволяет качественно объяснить диффузию  $\mu^+$ -мезона в нормальных металлах. Основным условием применимости рассматриваемого механизма является достаточная идеальность решетки кристалла /4/: предельно низкая концентрация дефектов, дислокаций. Поэтому для выяснения вопроса о применимости модели необходимы дополнительные экспериментальные исследования влияния примесей на

Зависимость скорости релаксации спина мюона от температуры  $T$  /в произвольных единицах измерения/.

диффузию. Механизм когерентной диффузии в аномальной области можно отличить от альтернативного ему механизма захвата  $\mu^+$ -мезона на примесях или междоузлиях также с помощью предложенного недавно метода /11/ изучения релаксации спина  $\mu^+$ -мюона в отсутствие внешнего поля.

Авторы признательны И.И.Гуревичу и Б.А.Никольскому за обсуждение результатов работы.

#### ЛИТЕРАТУРА

1. Мезоны в веществе. Труды Международного симпозиума. ОИЯИ, Д1-2, 14-10908, Дубна, 1977, с.229-346.
2. Белоусов Ю.М. и др. УФН, 1979, 129, с.3.
3. Андреев А.Ф., Лифшиц И.М. ЖЭТФ, 1969, 56, с.2057.
4. Kagan Yu., Klinger M.I. J.Phys.C, 1974, 7, p.2791.
5. Андреев А.Ф. УФН, 1976, 118, с.251.
6. а. Гребинник В.Г. и др. Письма в ЖЭТФ, 1977, 25, с.322;  
б. Birnbaum H.K. et al. Phys.Lett., 1978, 65A, p.435.
7. Springer T. In: Topics in Current Physics, vol.3, Ed.Lovesey S.W., Springer T. Springer-Verlag, Berlin, Heidelberg, 1977, p.255-300.
8. Поляроны /сборник под ред. Фирсова Ю.А./. "Наука", М., 1975.
9. Kubo R. J.Phys.Soc.Jap., 1957, 12, p.570.
10. Дибык А.Ю., Шестаков В.Д., Юшанхай В.Ю. В сб.: Мезоны в веществе. Труды Международного симпозиума. ОИЯИ, Д1-2, 14-10908, Дубна, 1977, с.277.
11. Petzinger K.G. Phys.Lett.A, 1980, 75, p.225.

Рукопись поступила в издательский отдел  
28 апреля 1980 года.